

北大工学部 正員 岩村 仁
 北海学園大 " 本多 祐也
 北大工学部 " 奥村 勇

1. 緒言 平板構造は土木、建築等はとめ多くの分野で用いられている構造要素でありその研究も数多くある。著者も扇形平板の曲げについてその研究成果を発表して来たが、板に作用する荷重が部分荷重と斜射方向の線荷重についてはまだ発表していないかった。この報告は平板の特異解の応用により部分荷重を担う扇形平板の挙動についてである。平板の曲げの問題は4階の偏微分方程式を解くことにより解が得られる。偏微分方程式の境界値問題を解く有力な方法の一つにGreen関数による方法があり、平板については円板の曲げの問題に適用した例が発表されている。¹⁾ 以下主として線荷重による曲げの問題を解析した。

2. 斜射方向の線荷重を担う扇形平板の曲げ 平板の曲げの微分方程式は極座標を採用するところとなる。

$$\Delta \Delta w(r, \theta) = \frac{q(r, \theta)}{D}, \quad \because \Delta = \frac{\partial^2}{\partial r^2} + \frac{1}{r} \frac{\partial}{\partial r} + \frac{1}{r^2} \frac{\partial^2}{\partial \theta^2} \quad \left. \begin{array}{l} D = \text{板の曲げ剛性} = \frac{Eh^3}{12(1-\nu^2)} \end{array} \right\} \dots (1)$$

ここで、 $q(r, \theta)$ は分布している荷重強度である。

方程式(1)の特異解(Green関数の主要解)は

$$\frac{1}{8\pi D} R^2 \log R \dots \dots \dots (2)$$

で与えらるいて特解 w_p は次式のようになる。(図-1 参照)

$$w_p = \frac{1}{8\pi} \iint_{(A)} R^2 \log R \cdot \frac{q(r', \theta')}{D} dA \dots \dots \dots (3)$$

$$\therefore (r', \theta') = dA の座標, \quad R = (r, \theta) \times (r', \theta') の距離 \\ = [r^2 + r'^2 - 2rr' \cos(\theta - \theta')]^{1/2}$$

この特解と同次方程式の解 $w_c(r, \theta)$ を重ね合せて扇形平板の曲げの解

$$w(r, \theta) = w_c + w_p = \sum_m (A_m r^m + B_m \bar{r}^m + C_m r^{m+2} + D_m \bar{r}^{m+2}) \cos m\theta + w_p \dots (4)$$

図-2のようを線荷重の場合には式(3)の積分の際、 $\theta = 0$ の 2π なる強度

で他の領域でりざあることでこの積分に当つては Dirac のδ関数を使う。

$$w_p = \frac{1}{8\pi D} \int_{-\pi/2}^{\pi/2} \int_b^a \{ r^2 + r'^2 - 2rr' \cos(\theta - \theta') \} \cdot \log \{ r^2 + r'^2 - 2rr' \cos(\theta - \theta') \}^{1/2} \times p(r') \cdot f(\theta') dr' d\theta' = \frac{1}{16\pi D} \int_b^a f(\theta') d\theta' \dots (5)$$

$$\therefore \because f(r', \theta') = p(r') (r^2 + r'^2 - 2rr' \cos \theta) \cdot \log (r^2 + r'^2 - 2rr' \cos \theta).$$

$f(r', \theta')$ を θ' に関する第一級級数に展開する。すなばく $b < r' < r$ の場合には $r'/r = \frac{r'}{r} = \frac{a}{r} < 1$ であり、次のようになす。³⁾ ($r = pa, r' = qa, m \geq 2$)

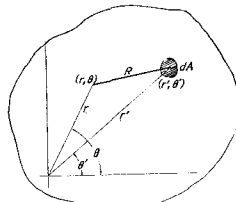


図-1

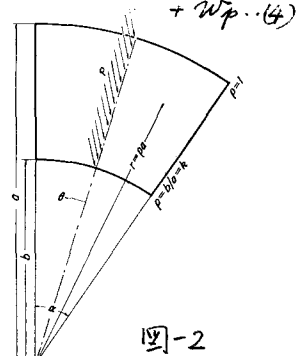


図-2

$f(r, \theta) = 2r^2 p(r) [K_0 + \sum_m K_m \cos m\theta]$, $\therefore K_m = \frac{1}{m(m+1)} \cdot \frac{p^{(m)}}{p^{(m+1)}} \left\{ m+1 - (m+1) \frac{p^2}{p^{(2)}} \right\}$ (6)

式(6) が成り立つ場合すなはち $\beta r' = \frac{1}{3} = \frac{\beta'}{3} < 1$ の場合に式(5)に代入し, $p(r) = p = \text{const.}$ の場合について計算し扇形平板の中心角を α とし, フーリエ級数展開を

$$w_p = \frac{2}{\alpha} \sum_{\beta} \frac{1}{8D} \cdot \gamma_{\beta}(p) \cdot \cos \beta \theta, \quad \therefore \beta = \frac{n\pi}{\alpha}, \quad n = 1, 2, 3, \dots, \dots \quad (7)$$

の形で表わすと $\gamma_{\beta}(p)$ の値は $\beta \geq 4$ に対して

$$\gamma_{\beta}(p) = \frac{a^3}{\beta(\beta^2-1)(\beta^2-9)} \beta^3 - \beta^2 \left(\frac{\beta+1}{\beta-3} - \beta^2 \right) - \left(\beta^2 + 1 \right) \beta \left(\beta^2 - \frac{\beta-1}{\beta+3} k^2 \right) \dots \dots \quad (8)$$

となる。 = 3 17 式 7, たゞ w_p と w_c を重ね合わせ, w_c に含まれる $\frac{1}{4}$ の未定係数を工字形弧辺の境界条件から決定すれば所要の解が得られる。この方法を应用して数値計算例を行なったがその数値結果は表-3 以下である。

3. 文献①: Saito, Kanakami: Proc. J.N.C.A.M., 1955, 9/8

2) R. Courant u. Hilbert: Methoden der mathematischen Physik, I, Kap. V

3) 萩村, 本多: 工学会誌海道支部論文集昭和

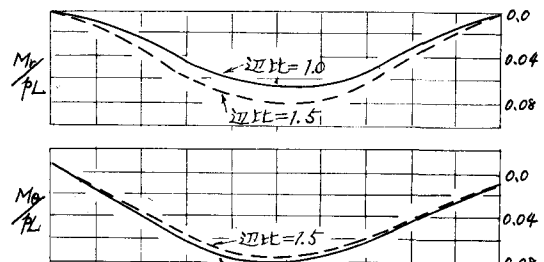
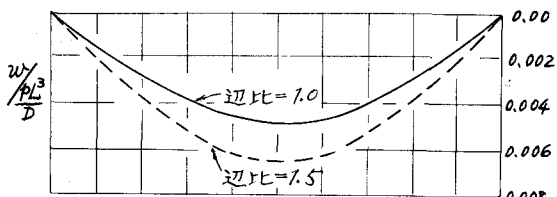
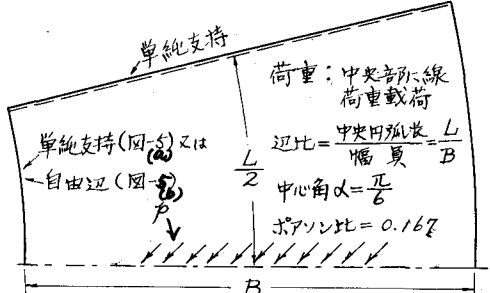
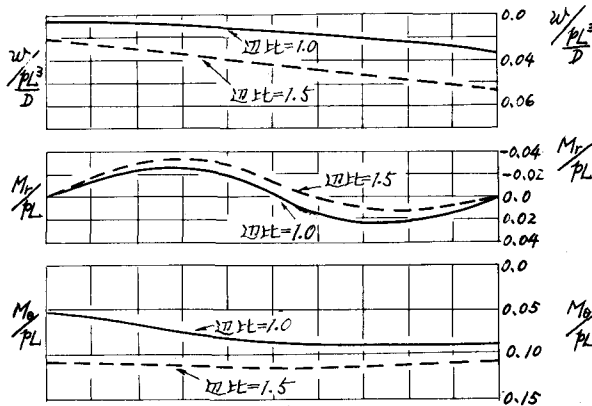
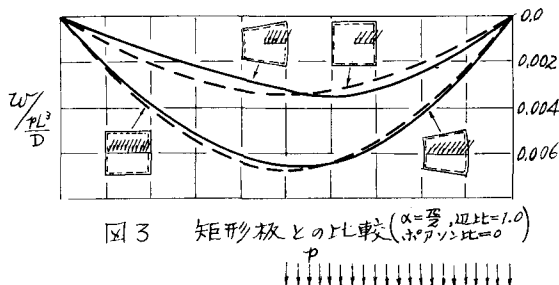


図-5(a) 二円弧辺単純支持の場合

